

**UNIVERSIDAD AUTÓNOMA “JUAN MISael SARACHo”
SECRETARÍA DE EDUCACIÓN CONTINUA
DIRECCIÓN DE POSGRADO
DOCTORADO EN CIENCIAS**



TESIS DE DOCTORADO

**INVESTIGACIÓN TEÓRICA EXPERIMENTAL DE LA
CONSOLIDACIÓN DE LAS ARCILLAS,
CON REFERENCIA PARTICULAR A LAS DEL VALLE
CENTRAL DE TARIJA**

Autor: **Laura Karina Soto Salgado**

Tutor: **Ph. D. Ing. Iván Fernando Otálvaro Calle**

Tesis de doctorado, presentada a consideración de la Universidad Autónoma Juan Misael Saracho, como requisito para optar el título de Doctor en Ciencias

**Tarija – Bolivia
2024**

**UNIVERSIDAD AUTÓNOMA “JUAN MISAEL SARACHO”
SECRETARÍA DE EDUCACIÓN CONTINUA
DIRECCIÓN DE POSGRADO
DOCTORADO EN CIENCIAS**

**TESIS DE DOCTORADO
INVESTIGACIÓN TEÓRICA EXPERIMENTAL DE LA
CONSOLIDACIÓN DE LAS ARCILLAS,
CON REFERENCIA PARTICULAR A LAS DEL VALLE
CENTRAL DE TARIJA**

Autor: **Laura Karina Soto Salgado**
Tutor: **Ph. D. Ing. Iván Fernando Otálvaro Calle**

Tesis de doctorado, presentada a consideración de la Universidad Autónoma Juan Misael Saracho, como requisito para optar el título de Doctor en Ciencias

Tarija – Bolivia

2024

HOJA DE APROBACIÓN

**INVESTIGACIÓN TEÓRICA EXPERIMENTAL DE LA CONSOLIDACIÓN
DE LAS ARCILLAS, CON REFERENCIA PARTICULAR A LAS DEL
VALLE CENTRAL DE TARIJA**

Postulante:

Laura Karina Soto Salgado

Tutor:

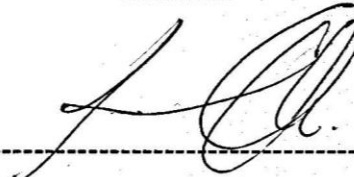
Ph.D. Ing. Iván Fernando Otálvaro Calle

Tribunal Calificador:



Ph.D. Ing. María Alejandra Leigue Fernández

Tribunal



D.Sc. Ing. Rosemary Janneth Llanque Ayala

Tribunal



Ph. D. Ing. Alberto Benítez Reynoso

Tribunal

Tarija, mayo de 2024

ADVERTENCIA

El tribunal calificador del presente trabajo de tesis de doctorado, no se solidariza con la forma, términos, modos y expresiones vertidas en el mismo, siendo éstas responsabilidad del autor.

DEDICATORIA

A mi familia por darme la fortaleza
para seguir adelante y ayudarme
en mi formación, brindándome su
apoyo en todos los momentos más
difíciles de mi vida... Gracias!!!

AGRADECIMIENTO

A Dios por bendecirme y guiar cada uno de mis pasos para lograr mis propósitos.

A mi adorada Danita y mi querido Armando...Gracias por confiar siempre en mí, por su amor incondicional, por su paciencia y por estar siempre a mi lado, a pesar de no haberles dedicado estos años el tiempo que se merecen.

A mi Tribunal, en especial al Ph. D. Alberto Benítez Reynoso. por aceptar encaminar esta investigación, por regalarme su tiempo, su conocimiento y alentarme en todo momento sin su apoyo no hubiese podido llegar a esta instancia tan anhelada.

A todas las personas que me colaboraron para realizar mi tesis, ¡muchas gracias!!!

PENSAMIENTO

“Si lo puedes soñar, lo puedes lograr”.

Walt Disney

ÍNDICE DE CONTENIDO

	Página
HOJA DE APROBACIÓN	i
ADVERTENCIA	ii
DEDICATORIA	iii
AGRADECIMIENTO.....	iv
PENSAMIENTO.....	v
RESUMEN.....	xiv

CAPÍTULO I INTRODUCCIÓN

1.1 Antecedentes	1
1.2 Descripción de la problemática.....	4
1.3 Objetivos	6
1.4 Hipótesis.....	7

CAPÍTULO II FUNDAMENTACIÓN TEÓRICA

2.1 Fenómeno de cambio volumétrico	9
2.2 Consolidación.....	11
2.2.1 Principio de la consolidación	18
2.2.2 Comportamiento del cambio volumétrico.....	23
2.2.3 Comportamiento general del cambio de volumen de los suelos	24
2.3 Prueba de consolidación de laboratorio unidimensional.....	26
2.4 Arcillas normalmente consolidadas y sobreconsolidadas	30
2.4.1 La razón o grado de sobreconsolidación (OCR)	34
2.4.1.1 Método de Oikawa (1987)	35
2.4.1.2 Correlaciones empíricas para la presión de preconsolidación	37

Página

2.4.1.3 Correlaciones empíricas para la relación de sobreconsolidación.....	38
2.5 Índice de compresión	39
2.6 Índice de recompresión C _r	42
2.7 Índice de abultamiento C _s	45
2.8 Efecto de la perturbación de las muestras en la curva e versus log σ'.	46
2.9 Coeficiente de consolidación	50
2.10 Cálculo de asentamiento a partir de una consolidación primaria en una dimensión.....	51
2.10.1 Asentamiento a partir de la consolidación secundaria	54
2.11 Tasa de consolidación.	56
2.12 Correlación y regresión simple	59

CAPÍTULO III
MATERIALES Y MÉTODOS

3.1 El Valle central de Tarija	72
3.1.1 Aspectos de ocupación del territorio.....	75
3.2 Programa experimental	77
3.2.1 Ubicación de la zona	78
3.2.2 Coordenadas de los puntos en estudio	79
3.3. Caracterización de la zona	80
3.3.1. Muestreo de suelos	80
3.3.2. Extracción de muestras de suelo	80
3.3.3 Propiedades índice	81
3.3.4 Propiedades mecánicas.....	82
3.3.4.1 Consolidómetro digital (edómetro) marca ACE EmS	83
3.3.4.2 Ventajas de edómetro automático computarizado	89
3.3.4.3 Cálculo de los parámetros de compresibilidad.....	89

CAPÍTULO IV RESULTADOS

	Página
4.1 Caracterización básica de los suelos e indicadores estadísticos.....	92
4.2 Las Arcillas y Limos del Valle Central de Tarija en la Carta de plasticidad	100
4.3 Determinación experimental del módulo edometrico, <i>Em</i>	105
4.4 Clasificación de las arcillas del Valle Central de Tarija en función de la compresibilidad.....	114
4.5 Variación de los asentamientos en función de la profundidad.....	117
4.6 Modelos Constitutivos	119
4.7 Correlaciones y modelos matemáticos.....	123

CAPÍTULO V CONCLUSIONES Y RECOMENDACIONES

5.1 Conclusiones	126
5.2 Recomendaciones.....	129
5.3 Futuras líneas de investigación	129
5.4 Aporte original de la investigación	129
BIBLIOGRAFÍA.....	131

ÍNDICE DE CUADROS

	Página
Cuadro 1.1 Parámetros y variables obtenidas de la prueba de compresión confinada.	3
Cuadro 2.1 Mecanismos de preconsolidación de depósitos horizontales sometidos a tensiones geoestáticas.....	32
Cuadro 2.2 Relaciones empíricas para Cc.....	41
Cuadro 2.3 Valores típicos de Cc y Cr de algunas arcillas naturales.....	44
Cuadro 2.4 Correlaciones para Cr.....	44
Cuadro 2.5 Compresión y abultamiento de suelos naturales.	45
Cuadro 2.6 Variación del factor tiempo con el grado de consolidación.	58
Cuadro 3.1 Coordenadas de la ubicación de los puntos.....	79
Cuadro 3.2 Datos de deformación y presión.....	87
Cuadro 3.3 Datos para graficar la curva de compresibilidad.	89
Cuadro 3.4 Resumen de factores de compresibilidad.	90
Cuadro 4.1 Resumen total estadístico 1m	94
Cuadro 4.2 Resumen total estadístico 2m	95
Cuadro 4.3 Resumen total estadístico 3m	96
Cuadro 4.4 Resumen total estadístico 1m arcillas	97
Cuadro 4.5 Resumen total estadístico 1m limos	98
Cuadro 4.6 Resumen total estadístico 2m arcillas	99
Cuadro 4.7 Módulo Edométrico, Arcillas 1m de profundidad.....	107
Cuadro 4.8 Módulo Edométrico, Limos 1m de profundidad.....	109
Cuadro 4.9 Módulo Edométrico, Arcillas 2m de profundidad.....	111
Cuadro 4.10 Módulo Edométrico, Limos 2m de profundidad.....	112
Cuadro 4.11 Módulo Edométrico, Arcillas a 3m de profundidad.....	112
Cuadro 4.12 Resumen Total; Módulo Edométrico, arcillas.....	113
Cuadro 4.13 Resumen Total; Módulo Edométrico, limos	114
Cuadro 4.14 Clasificación de la compresibilidad	115

Página

Cuadro 4.15 Clasificación de las muestras en función de la compresibilidad para una profundidad de 1 metro	115
Cuadro 4.16 Clasificación de las muestras en función de la compresibilidad para una profundidad de 2 metros.....	116
Cuadro 4.17 Clasificación de las muestras en función de la compresibilidad para una profundidad de 3 metros.....	116
Cuadro 4.18 Resumen profundidad – asentamiento	118
Cuadro 4.19 Determinación de coeficientes del modelo constitutivo, Arcillas a 1m de profundidad	120
Cuadro 4.20 Determinación de coeficientes del modelo constitutivo, Limo 1m de profundidad	121

ÍNDICE DE FIGURAS

	Página
Figura 2.1 Capa de arcilla en proceso de consolidación.....	12
Figura 2.2 Modelo cilindro-resorte Analogía de resorte y pistón aplicada a la consolidación.....	20
Figura 2.3 Variación del esfuerzo total, la presión de agua intersticial y el esfuerzo efectivo en una capa de arcilla.....	21
Figura 2.4 Variación del esfuerzo total, la presión de agua intersticial y el esfuerzo efectivo.....	22
Figura 2.5. Relaciones idealizadas de tensión efectiva y la relación de vacíos para un suelo compresible.....	23
Figura 2.6. Curvas de compresión de varios suelos.....	24
Figura 2.7 Relaciones idealizadas de tensión efectiva y la relación de vacíos para un suelo compresible.....	25
Figura 2.8 Diagrama esquemático de un consolidómetro.....	26
Figura 2.9 Grafica deformación en función del tiempo.....	28
Figura 2.10 Curva edométrica.....	29
Figura 2.11 Presión de preconsolidación	31
Figura 2.12 Curvas de compresión correspondientes a distintos momentos en la etapa final de la consolidación primaria.....	34
Figura 2.13 Procedimiento gráfico para determinar la presión de preconsolidación..	35
Figura 2.14 Procedimiento mediante Oikawas para estimar $\sigma c'$	36
Figura 2.15 Presión de preconsolidación.....	40
Figura 2.16 Efecto de la alteración de la muestra en la curva e frente a $\log \sigma'$: (a) suelo normalmente consolidado.	43
Figura 2.17 Efecto de la alteración de la muestra en la curva e frente a $\log \sigma$: (b) suelo sobreconsolidado.....	46
Figura 2.18 Cambio en la sensibilidad con la consolidación para varias arcillas.	48

Página

Figura 2.19 Método de logaritmo de tiempo para determinar el coeficiente de consolidación.....	50
Figura 2.20 Método de logaritmo de tiempo para determinar el coeficiente de consolidación.....	52
Figura 2.21 Variación de e con log t bajo un incremento de carga dado y la definición del índice de compresión secundaria.....	54
Figura 2.22 Variación de U_z con T_v y z/H_{dr}	58
Figura 3.1 Ubicación del VCT en el Departamento de Tarija.	73
Figura 3.2 Ubicación del VCT en el Departamento de Tarija.	76
Figura 3.3 Programa experimental de esta investigación.....	77
Figura 3.4 Ubicación Distrito 12.....	78
Figura 3.5 Extracción de muestras.	81
Figura 3.6 Caracterización de las muestras.....	82
Figura 3.7 Preparación de muestras.	83
Figura 3.8 Saturación de muestras.	83
Figura 3.9 Edómetro ACE EmS.....	84
Figura 3.10 Partes de la celda de confinamiento.....	84
Figura 3.11 Panel principal.	85
Figura 3.12 Panel para los datos de la muestra.	86
Figura 3.13 Panel de programación de presiones y tiempo para la prueba.	86
Figura 3.14 Panel de Inicio de la Prueba.....	87
Figura 3.15 Consolidación – deformación vs tiempo.	88
Figura 3.16 Índice de compresión C_c , índice de recompresión C_s y esfuerzo de preconsolidación.	90

ÍNDICE DE GRÁFICAS

	Página
Gráfica 4.1 Carta de Plasticidad, totalidad de las muestras	102
Gráfica 4.2 Carta de Plasticidad Arcillas	102
Gráfica 4.3 Carta de Plasticidad Limos.....	103
Gráfica 4.4 Carta de Plasticidad muestras a 1m.....	103
Gráfica 4.5 Carta de Plasticidad muestras a 2m.....	104
Gráfica 4.6 Carta de Plasticidad a 3m.....	104
Gráfica 4.7 Determinación de <i>Em</i>	105
Gráfica 4.8 Modelo de ajuste asentamiento - profundidad	117
Gráfica 4.9 Modelo de ajuste asentamiento - profundidad	118
Gráfica 4.10 Modelo de ajuste esfuerzo – deformación	120
Gráfica 4.11 Modelo de ajuste Asentamiento – OCR.....	123